

Seminarium ZMiFP, IPPT PAN, Warszawa 16 grudnia 2009.

Niestateczność hydrodynamiczna przepływu w szczelinie w poprzecznie pofalowanymi ścianami

Jacek Szumbariski

Instytut Techniki Lotniczej i Mechaniki Stosowanej

Wydział Mechaniczny Energetyki i Lotnictwa

Politechnika Warszawska

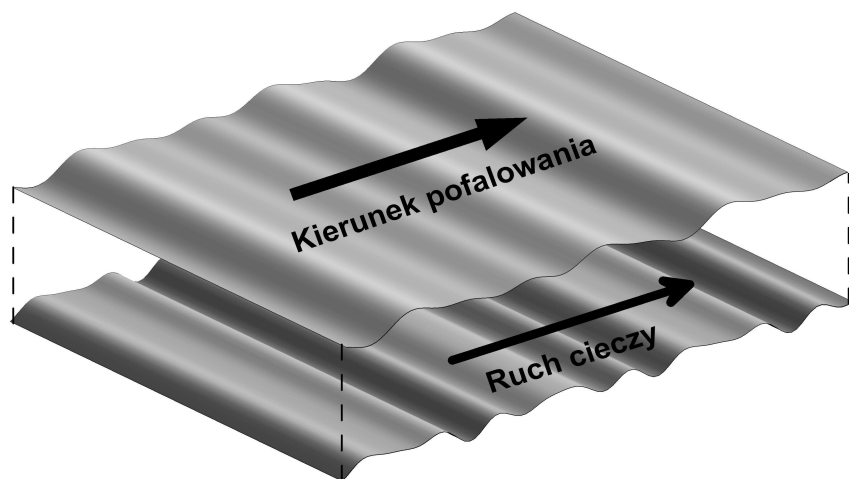
PLAN PREZENTACJI

- Motywacja
- Stateczność przepływu cieczy w kanale (szczelinie) o nieskończonej szerokości
(podsumowanie wcześniejszych wyników)
- Przepływ niezaburzony w kanale o skończonej szerokości
- Stateczność względem małych zaburzeń: metoda numeryczna i wybrane wyniki
- Podsumowanie

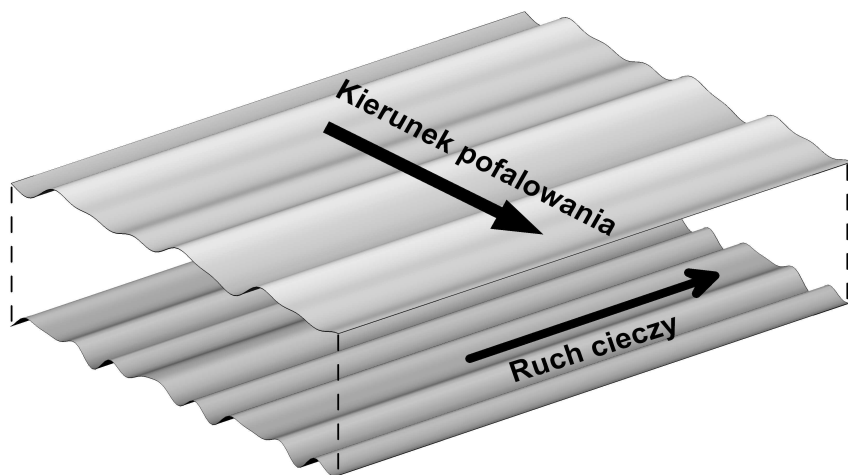
MOTYWACJA – ZWIĘKSZANIE EFEKTYWNOŚCI MIESZANIA W WEWNĘTRZNYCH PRZEPŁYWACH LAMINARNYCH

WARUNEK EFEKTYWNOŚCI: złożona struktura wirowa przepływu + niestacjonarność

REALIZACJA: destabilizacja przepływu przy możliwie najniższej liczbie Reynoldsa, bez – o ile to możliwe – nadmiernego zwiększania oporów ruchu



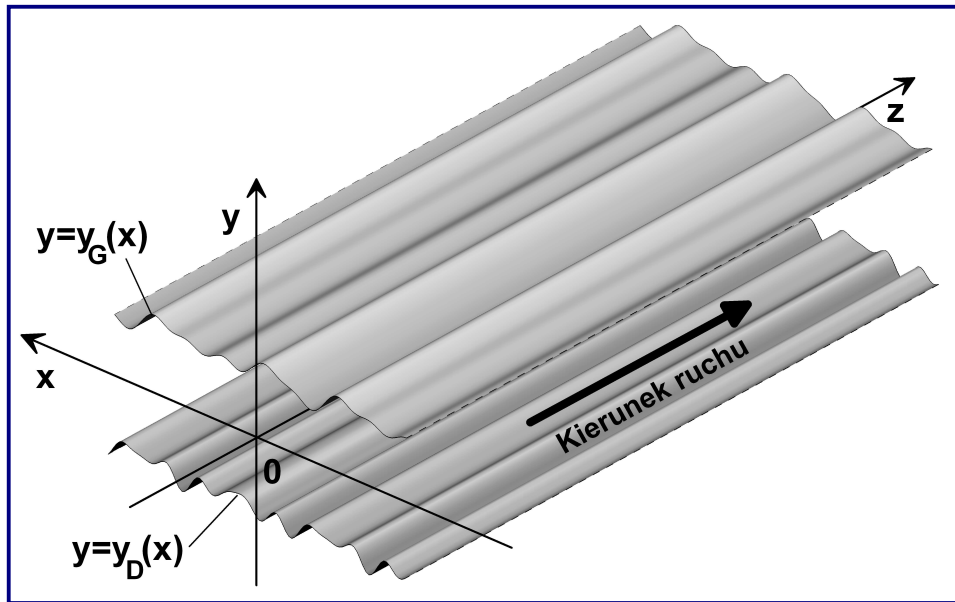
Pofalowanie podłużne jest skuteczne, ale przy większej amplitudzie znacznie rosną opory przepływu ...



...można jednak wprowadzić **pofalowanie poprzeczne!**

KANAŁ (SZCZELINA) O NIESKOŃCZONEJ SZEROKOŚCI

OBSZAR PRZEPIYWU



$$y_{D,G}(x + \lambda_X) = y_{D,G}(x)$$

$$\lambda_X = 2\pi / \alpha \quad - \text{podziałka}$$

H - $1/2$ średniej wysokości

$$H = \frac{1}{2} \int_0^{\lambda_X} [y_G(x) - y_D(x)] dx$$

$$\text{Re} = \frac{W_{\max} H}{\nu} \quad - \text{liczba Reynoldsa}$$

$$W_{\max} = W|_{y=0} \quad (\text{bez pofalowania})$$

CIŚNIENIE: $dp_B / dz = -2 / \text{Re}$

PRĘDKOŚĆ: $\mathbf{v}_B = [0, 0, W_0(x, y)]$, $W_0(x + \lambda_X, y) = W_0(x, y)$

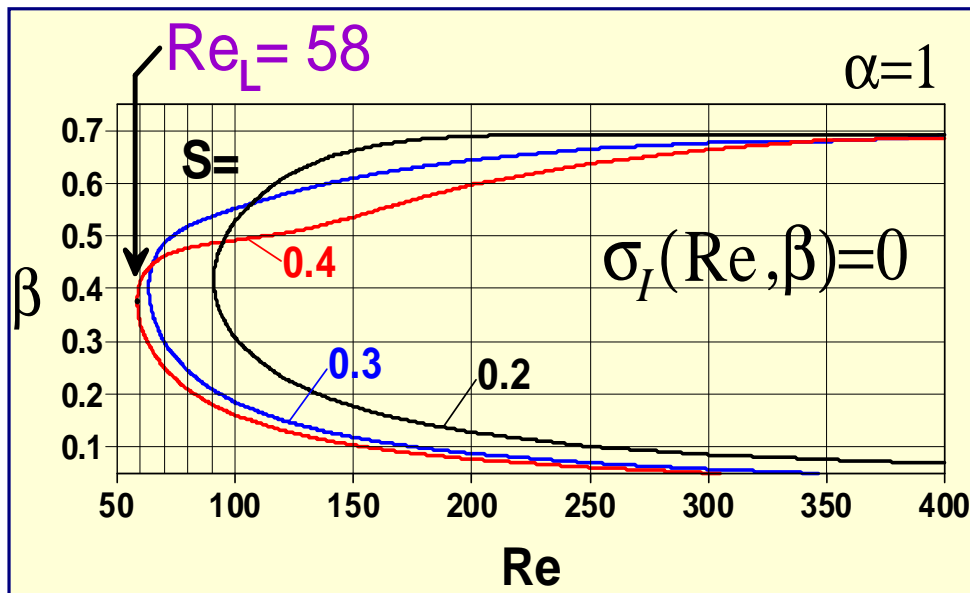
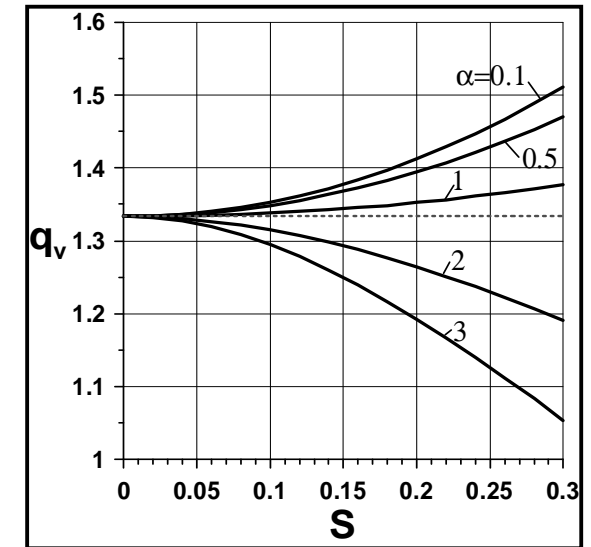
$$\partial_{xx} W_0 + \partial_{yy} W_0 = 0 \quad , \quad W_0(x, y_D(x)) = W_0(x, y_G(x)) = 0$$

WPLYW POFALOWANIA POPRZECZNEGO

1. Redukcja oporów hydraulicznych gdy $\lambda_x > 6H$

2. Silnie zmienność wartość prędkości W_0 w kierunku poprzecznym szczególnie dla pofalowania symetrycznego tj., gdy $y_G(x) = -y_D(x)$

3. **Radykalne obniżenie granicy stateczności** względem małych zaburzeń dla $y_G(x) = -y_D(x)$, $\lambda_x \approx 6 \div 7 H$ i amplitudy pofalowania (sinusoida) $S \approx 0.4H$



$$Re_L = 5772$$

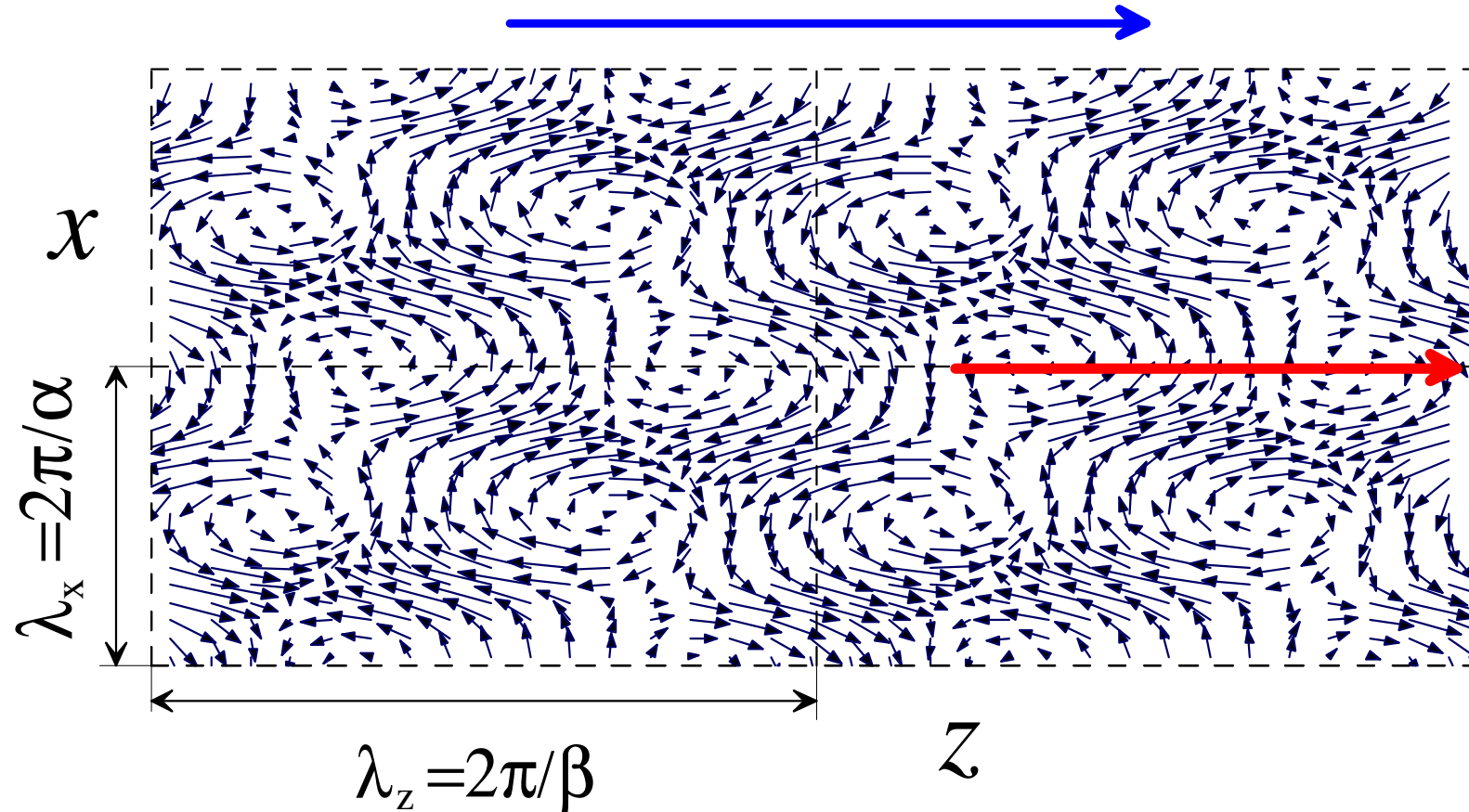


$$Re_L = 58$$

$$\text{dla } S = 0.396H, \quad \alpha = 1.05$$

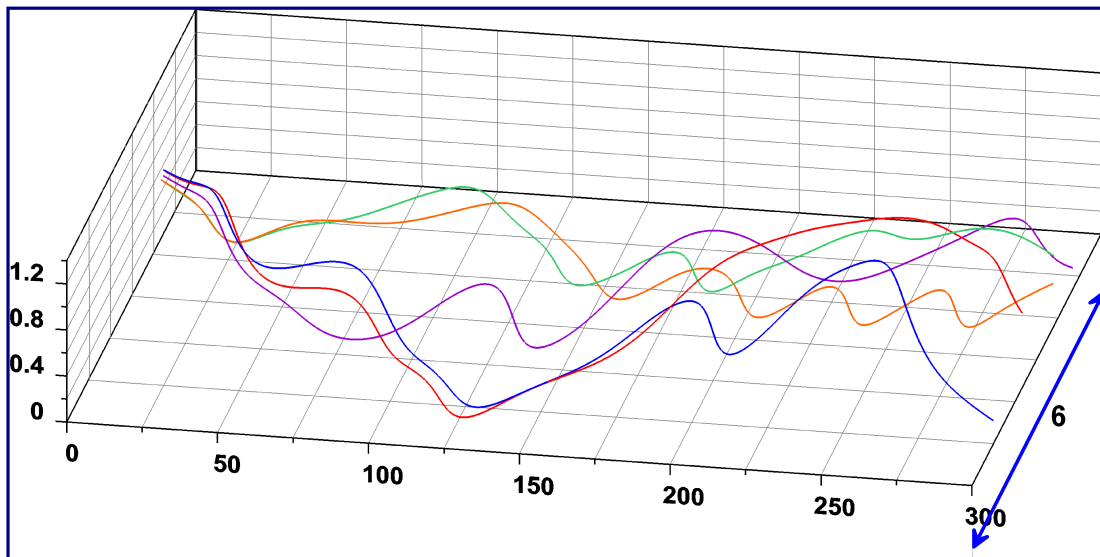
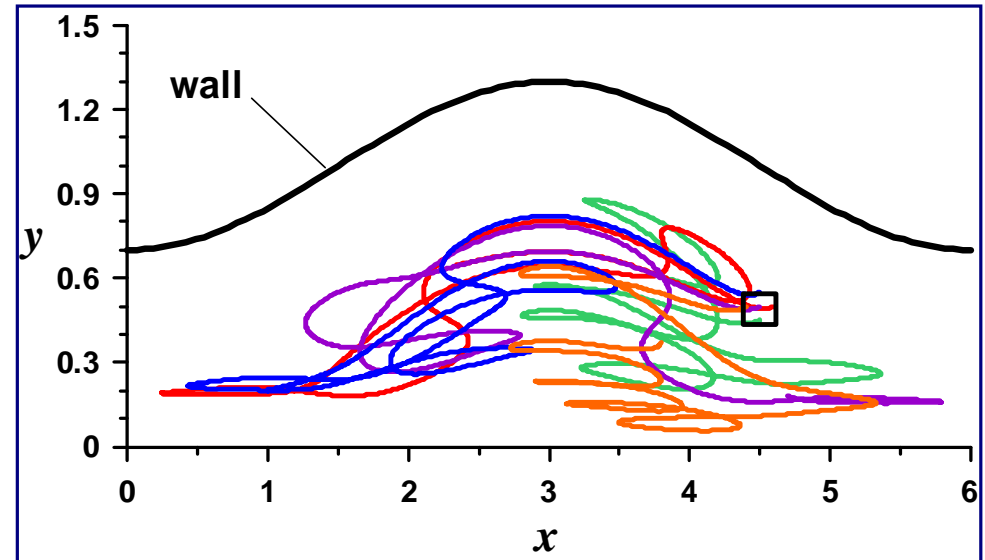
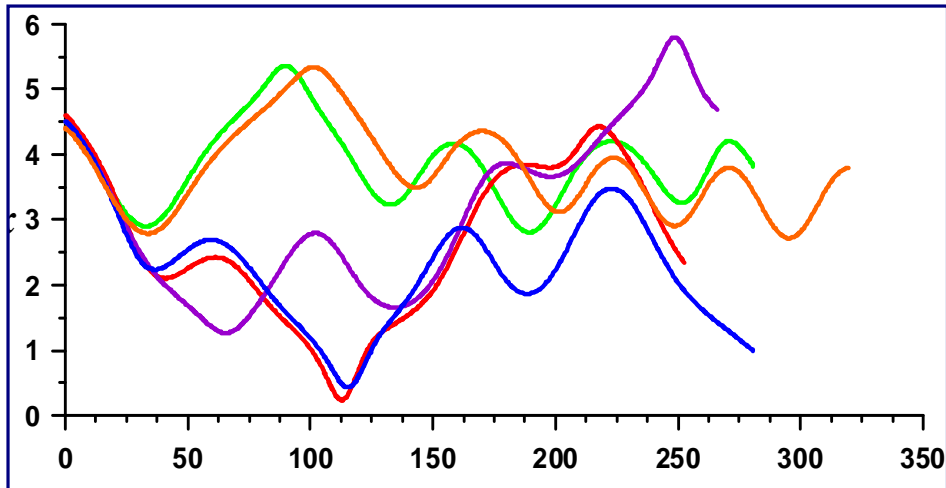
POSTAĆ NIESTABILNOŚCI

mean flow direction



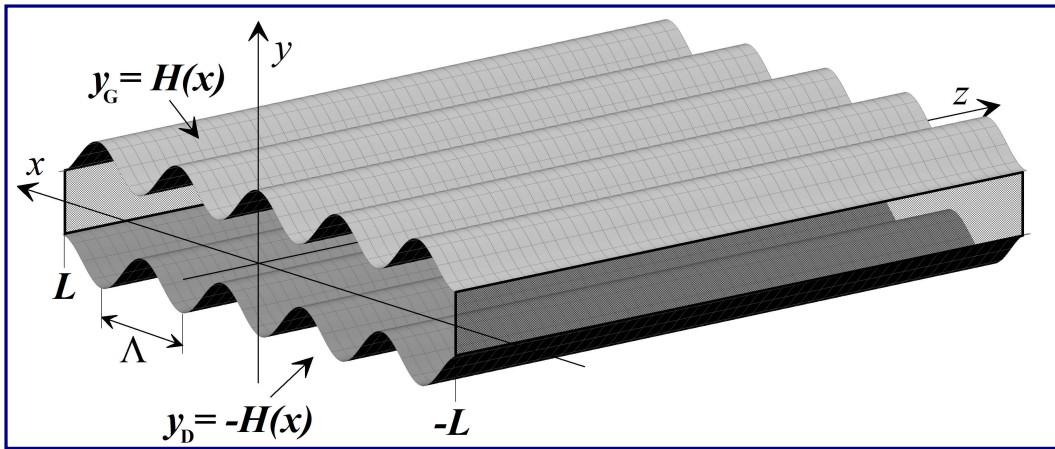
Pole prędkości niestabilnego modu normalnego w płaszczyźnie symetrii $y=0$.
Zaburzenie ma formę fali biegnącej ($v_f \approx 0.9\bar{W}|_{y=0}$), tj. wprowadza **OSCYLACJE** !

CZY ZACHODZI CHAOTYCZNE MIESZANIE?

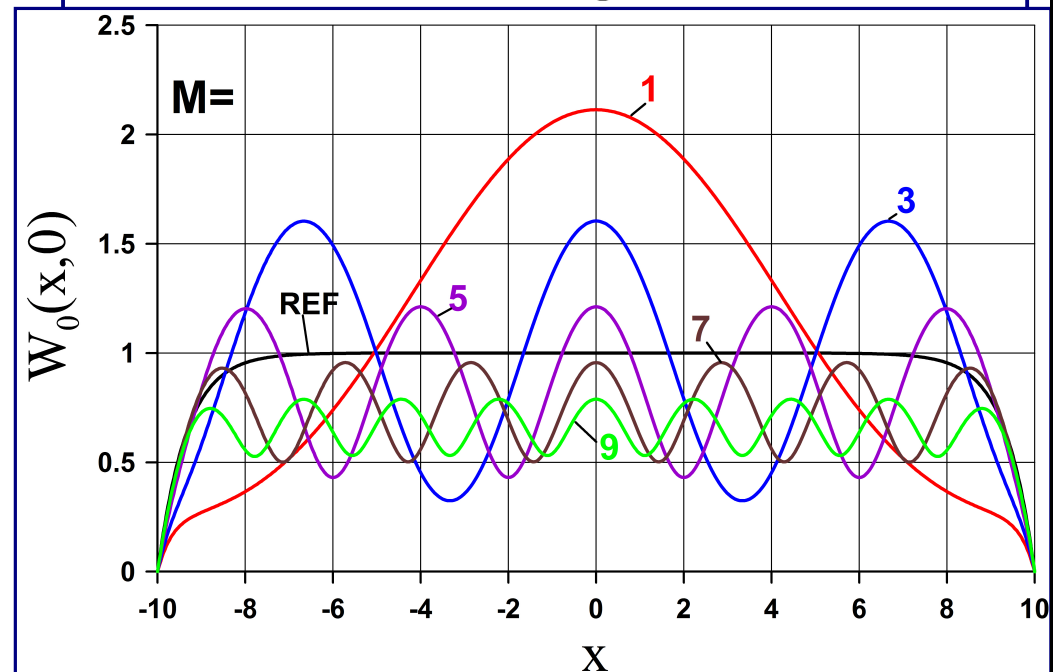
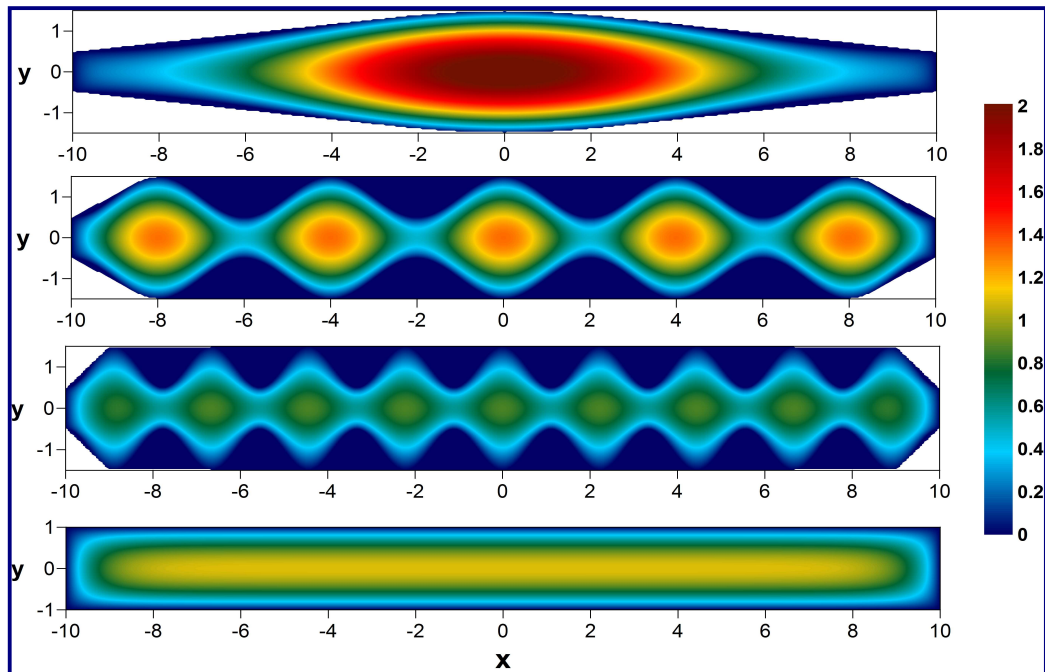
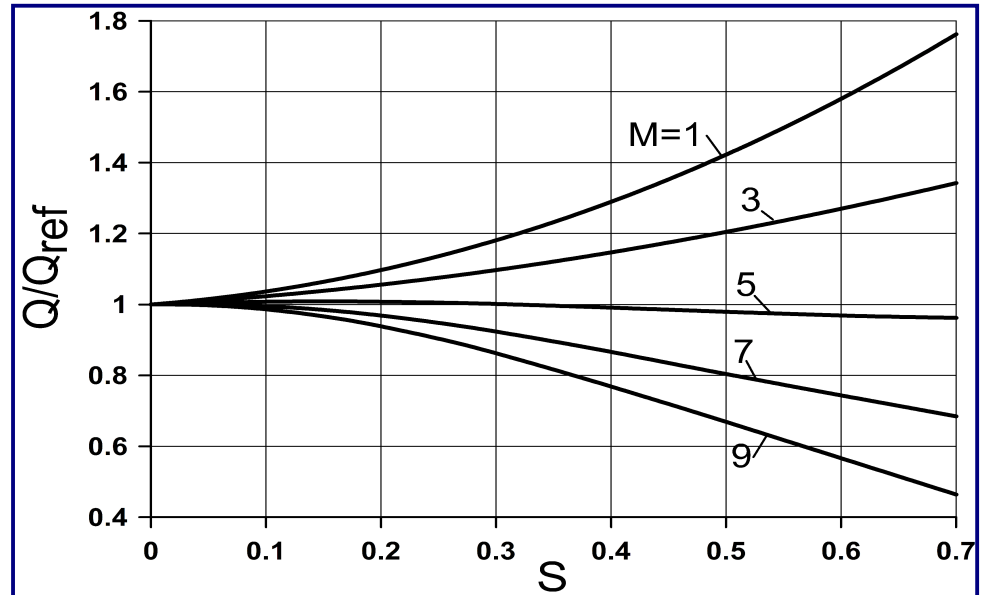


Trajektorie elementów płynu w polu prędkości otrzymanym w wyniku superpozycji przepływu niezaburzonego oraz niestatecznego modu zaburzeń o amplitudzie równej 20% średniej wartości prędkości w przepływie niezaburzony (tak skonstruowane pole **nie jest rozwiązaniem równań N-S**).

PRZEPIY W KANALE (SZCZELINIE) O SKONCZONEJ SZEROKOSCI



$$\Delta W_0 = -2, \quad W_0|_{\partial\Omega} = 0, \quad P_0(z) = -\frac{2}{\text{Re}} z$$



ANALIZA STATECZNOŚCI (1)

Przepływ zaburzony

$$\mathbf{V}(t, x, y, z) = \mathbf{V}_0(x, y) + \mathbf{v}(t, x, y, z) = [0, 0, W_0](x, y) + [u, v, w](t, x, y, z) .$$
$$P(t, x, y, z) = P_0(z) + p(t, x, y, z)$$

Równania ewolucji pola małych zaburzeń

$$\begin{cases} \partial_t u + W_0 \partial_z u = -\partial_x p + \frac{1}{\text{Re}} (\partial_{xx} + \partial_{yy} + \partial_{zz}) u \\ \partial_t v + W_0 \partial_z v = -\partial_y p + \frac{1}{\text{Re}} (\partial_{xx} + \partial_{yy} + \partial_{zz}) v \\ \partial_t w + W_0 \partial_z w + u \partial_x W_0 + v \partial_y W_0 = -\partial_z p + \frac{1}{\text{Re}} (\partial_{xx} + \partial_{yy} + \partial_{zz}) w \\ \partial_x u + \partial_y v + \partial_z w = 0 \end{cases}$$

Warunki brzegowe $[u, v, w] \Big|_{\partial\Omega} = 0$

ANALIZA STATECZNOŚCI (2)

Postać pola zaburzeń (postacie normalne)

$$[u, v, w, p](t, x, y, z) = [\hat{u}, \hat{v}, \hat{w}, \hat{p}](x, y) \exp[i(\beta z - \omega t)] + c.c.$$

Zagadnienie własne dla postaci normalnych

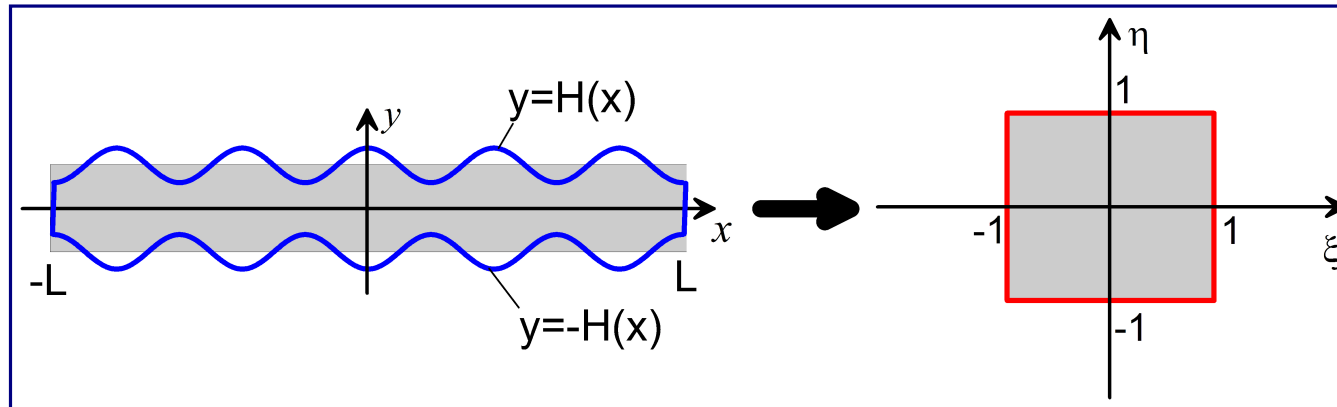
$$\begin{cases} -i\omega\hat{u} + i\beta W_0 \hat{u} = -\partial_x \hat{p} + \frac{1}{\text{Re}} (\Delta - \beta^2) \hat{u} \\ -i\omega\hat{v} + i\beta W_0 \hat{v} = -\partial_y \hat{p} + \frac{1}{\text{Re}} (\Delta - \beta^2) \hat{v} \\ -i\omega\hat{w} + i\beta W_0 \hat{w} + \hat{u} \partial_x W_0 + \hat{v} \partial_y W_0 = -i\beta \hat{p} + \frac{1}{\text{Re}} (\Delta - \beta^2) \hat{w} \\ \partial_x \hat{u} + \partial_y \hat{v} + i\beta \hat{w} = 0 \end{cases}$$

Warunki brzegowe

$$[\hat{u}, \hat{v}, \hat{w}]|_{\partial\Omega} = 0$$

PROCEDURA NUMERYCZNA (1)

Transformacja obszaru fizycznego w obszar obliczeniowy $[-1,1] \times [-1,1]$



$$y_G(x) \equiv H(x) = 1 + S \cos(M\pi x/L) = -y_D(x)$$

$$\begin{cases} x = L\xi \\ y = H(x)\eta = \eta H(L\xi) = L\eta\tilde{H}(\xi) \end{cases}, \quad \begin{cases} \xi = x/L \\ \eta = y/H(x) = y/[L\tilde{H}(x/L)] \end{cases}$$

Funkcje bazowe (metoda Galerkina)

- prędkość $\int_{-1}^1 \int_{-1}^1 b_I^v(\xi, \eta) b_J^v(\xi, \eta) \left(\sqrt{(1-\xi^2)(1-\eta^2)} \right)^{-1} d\xi d\eta = \delta_{IJ}$, $b_I^v(\pm 1, \eta) = b_I^v(\xi, \pm 1) = 0$
- ciśnienie $b_I^p(\xi, \eta) = t_{i(I)}(\xi) t_{j(I)}(\eta)$

PROCEDURA NUMERYCZNA (2)

Algebraiczne zagadnienie własne

$$\begin{cases} -i\omega \mathbf{u}_1 + \mathbf{C}\mathbf{u}_1 + \mathbf{D}_1\mathbf{p} = \mathbf{0} \\ -i\omega \mathbf{u}_2 + \mathbf{C}\mathbf{u}_2 + \mathbf{D}_2\mathbf{p} = \mathbf{0} \\ -i\omega \mathbf{u}_3 + \mathbf{C}\mathbf{u}_3 + \mathbf{B}_1\mathbf{u}_1 + \mathbf{B}_2\mathbf{u}_2 + i\beta\mathbf{D}_3\mathbf{p} = \mathbf{0} \\ \mathbf{E}_1\mathbf{u}_1 + \mathbf{E}_2\mathbf{u}_2 + i\beta\mathbf{E}_3\mathbf{u}_3 = \mathbf{0} \end{cases}$$

$$\mathbf{C} = i\beta\mathbf{A} - \frac{1}{\text{Re}}(\mathbf{K} - \beta^2\mathbf{I})$$

Eliminacja wektora \mathbf{p}

$$\Sigma\mathbf{p} = -(\mathbf{E}_1\mathbf{C} + i\beta\mathbf{E}_3\mathbf{B}_1)\mathbf{u}_1 - (\mathbf{E}_2\mathbf{C} + i\beta\mathbf{E}_3\mathbf{B}_2)\mathbf{u}_2 - i\beta\mathbf{E}_3\mathbf{C}\mathbf{u}_3$$

gdzie

$$\Sigma = \mathbf{E}_1\mathbf{D}_1 + \mathbf{E}_2\mathbf{D}_2 - \beta^2\mathbf{E}_3\mathbf{D}_3$$

Ostatecznie

$$\mathbf{p} = \mathbf{H}_1\mathbf{u}_1 + \mathbf{H}_2\mathbf{u}_2 + \mathbf{H}_3\mathbf{u}_3$$

gdzie

$$\begin{cases} \mathbf{H}_1 = -\Sigma^{-1}(\mathbf{E}_1\mathbf{C} + i\beta\mathbf{E}_3\mathbf{B}_1) \\ \mathbf{H}_2 = -\Sigma^{-1}(\mathbf{E}_2\mathbf{C} + i\beta\mathbf{E}_3\mathbf{B}_2) \\ \mathbf{H}_3 = -i\beta\Sigma^{-1}\mathbf{E}_3\mathbf{C} \end{cases}$$

PROCEDURA NUMERYCZNA (3)

Po eliminacji \mathbf{p} otrzymujemy zagadnienie własne (wymiar $N = 3 \cdot M_{\text{blok}}$, $M_{\text{blok}} \sim 4000$)

$$\begin{bmatrix} \mathbf{C} + \mathbf{D}_1 \mathbf{H}_1 & \mathbf{D}_1 \mathbf{H}_2 & \mathbf{D}_1 \mathbf{H}_3 \\ \mathbf{D}_2 \mathbf{H}_1 & \mathbf{C} + \mathbf{D}_2 \mathbf{H}_2 & \mathbf{D}_2 \mathbf{H}_3 \\ \mathbf{B}_1 + i\beta \mathbf{D}_3 \mathbf{H}_1 & \mathbf{B}_2 + i\beta \mathbf{D}_3 \mathbf{H}_2 & \mathbf{C} + i\beta \mathbf{D}_3 \mathbf{H}_3 \end{bmatrix} \begin{bmatrix} \mathbf{u}_1 \\ \mathbf{u}_2 \\ \mathbf{u}_3 \end{bmatrix} = i\omega \begin{bmatrix} \mathbf{u}_1 \\ \mathbf{u}_2 \\ \mathbf{u}_3 \end{bmatrix}$$

Obliczeniowo nieefektywne! M_{blok} -krotna zerowa wartość własna!

Zatem, eliminacja \mathbf{u}_3 ...
$$\mathbf{u}_3 = \frac{i}{\beta} \mathbf{E}_3^{-1} (\mathbf{E}_1 \mathbf{u}_1 + \mathbf{E}_2 \mathbf{u}_2)$$

Ostatecznie otrzymujemy zredukowane zagadnienie własne postaci

$$\begin{bmatrix} \mathbf{C} + \mathbf{D}_1 (\mathbf{H}_1 + \frac{i}{\beta} \mathbf{H}_3 \mathbf{E}_3^{-1} \mathbf{E}_1) & \mathbf{D}_1 (\mathbf{H}_2 + \frac{i}{\beta} \mathbf{H}_3 \mathbf{E}_3^{-1} \mathbf{E}_2) \\ \mathbf{D}_2 (\mathbf{H}_1 + \frac{i}{\beta} \mathbf{H}_3 \mathbf{E}_3^{-1} \mathbf{E}_1) & \mathbf{C} + \mathbf{D}_2 (\mathbf{H}_2 + \frac{i}{\beta} \mathbf{H}_3 \mathbf{E}_3^{-1} \mathbf{E}_2) \end{bmatrix} \begin{bmatrix} \mathbf{u}_1 \\ \mathbf{u}_2 \end{bmatrix} = i\omega \begin{bmatrix} \mathbf{u}_1 \\ \mathbf{u}_2 \end{bmatrix}$$

PROCEDURA NUMERYCZNA (4)

Cel obliczeń – poszukiwanie **geometrii optymalnej**, tj.:

- minimalizującej krytyczną liczbę Reynoldsa, albo
- maksymalizującej tempo wzmocnienia pola zaburzeń (czyli wartość $\omega_I = \Im \omega$) przy zadanej liczbie Reynoldsa

Rozważamy ograniczoną klasę kształtów: **pofalowanie sinusoidalne i symetryczne**

$$y_G(x) = 1 + S \cos(M \pi x / L) = -y_D(x)$$

Analiza zmienności parametrycznej $\omega_I = \Im \omega$ względem:

- liczby „komórek” M i szerokości kanału L (de facto $2L$)
- liczby falowej pola zaburzeń β
- liczby Reynoldsa Re

Problem efektywności obliczeniowej:

- zwykle nie ma potrzeby wyznaczania więcej niż jednej wartości/wektorów własnych (chyba, że badamy „transient growth” ...)
- zmiana wartości parametrów geometrycznych lub zmiana wartości liczby falowej β powoduje konieczność obliczenia **od nowa** macierzy Σ , $\mathbf{H}_1, \dots, \mathbf{H}_3$ itd.

PROCEDURA NUMERYCZNA (5)

Podstawowym narzędziem do śledzenia zmienności parametrycznej wybranej pary własnej (modu normalnego) zagadnienia $\mathbf{Ax} = \lambda \mathbf{Bx}$ jest **Metoda Odwrotnych Iteracji (MOI)**:

Dane startowe: przybliżona para własna $(\lambda_0, \mathbf{x}_0)$.

Dla $k=0,1,2,\dots$:

1) rozwiąż $(\mathbf{A} - \lambda_0 \mathbf{B})\mathbf{w}^{k+1} = \mathbf{Bx}^k$,

2) wyznacz liczbę w_{\max}^{k+1} taką, że $|w_{\max}^{k+1}| = \max \{|w_j^{k+1}|, j = 1, \dots, \dim(\mathbf{A})\}$,

3) oblicz $\mathbf{x}^{k+1} = \mathbf{w}^{k+1} / w_{\max}^{k+1}$,

4) oblicz $p_{k+1} = 1 / w_{\max}^{k+1}$,

5) jeżeli $|p_{k+1} - p_k| > \varepsilon$ to i wróć do kroku 1,

w przeciwnym wypadku para własna to $\lambda = \lambda_0 + p_{k+1}$, $\mathbf{x} = \mathbf{x}^{k+1}$.

Koniec.

PROCEDURA NUMERYCZNA (6)

Niech $(\omega_0; \mathbf{u}_1, \mathbf{u}_2, \mathbf{u}_3, \mathbf{p})$ to dostępne przybliżenie wybranego modu normalnego.

W każdej iteracji MOI trzeba rozwiązać układ równań

$$\begin{cases} \mathbf{C}_\omega \mathbf{w}_1 + \mathbf{D}_1 \mathbf{q} = \mathbf{u}_1 \\ \mathbf{C}_\omega \mathbf{w}_2 + \mathbf{D}_2 \mathbf{q} = \mathbf{u}_2 \\ \mathbf{C}_\omega \mathbf{w}_3 + \mathbf{B}_1 \mathbf{w}_1 + \mathbf{B}_2 \mathbf{w}_2 + i\beta \mathbf{D}_3 \mathbf{q} = \mathbf{u}_3 \\ \mathbf{E}_1 \mathbf{w}_1 + \mathbf{E}_2 \mathbf{w}_2 + i\beta \mathbf{E}_3 \mathbf{w}_3 = \mathbf{0} \end{cases}, \quad \mathbf{C}_\omega = i\beta \mathbf{A} - \frac{1}{\text{Re}} (\mathbf{K} - \beta^2 \mathbf{I}) - i\omega_0 \mathbf{I}.$$

Etap 1: $\mathbf{C}_\omega \hat{\mathbf{w}}_1 = \mathbf{u}_1$, $\mathbf{C}_\omega \hat{\mathbf{w}}_2 = \mathbf{u}_2$, $\mathbf{C}_\omega \hat{\mathbf{w}}_3 = \mathbf{u}_3$,

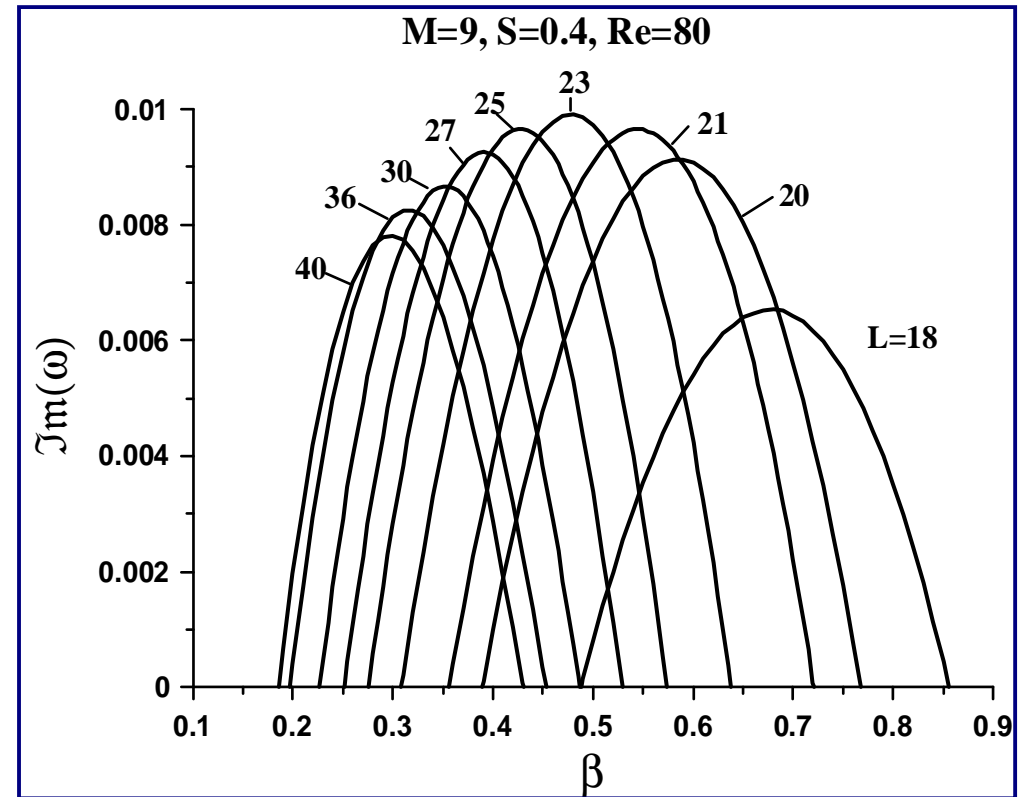
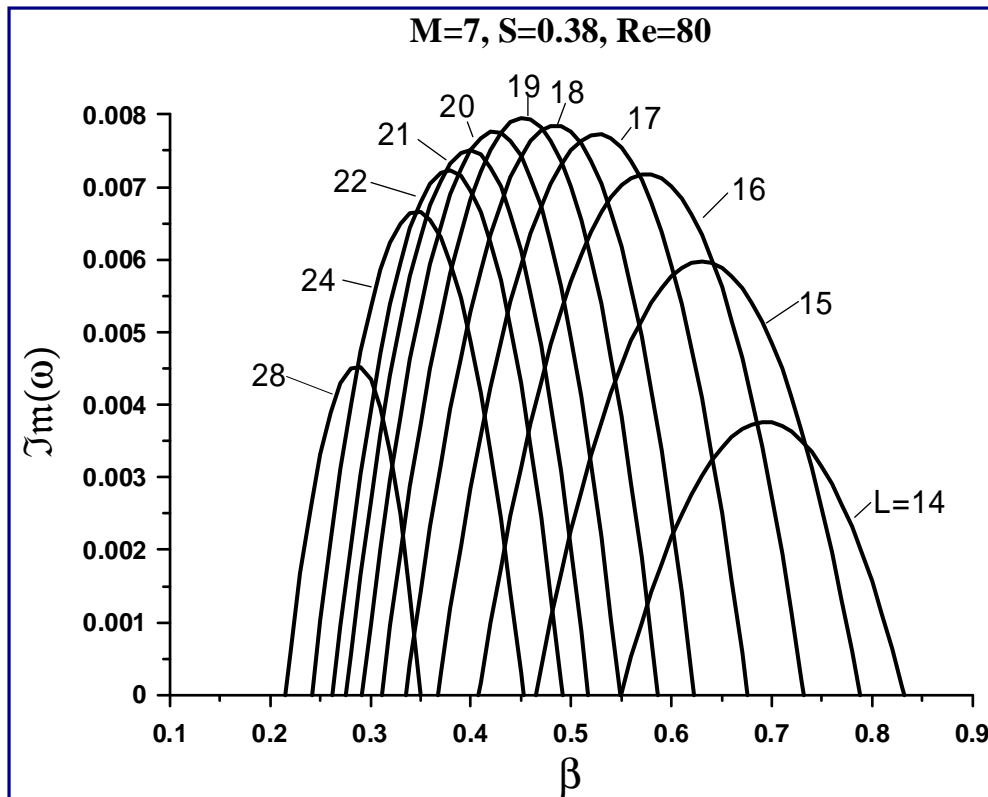
Etap 2: $\mathbf{S} \mathbf{q} = \mathbf{E}_1 \hat{\mathbf{w}}_1 + \mathbf{E}_2 \hat{\mathbf{w}}_2 + i\beta \mathbf{E}_3 \hat{\mathbf{w}}_3$,

gdzie $\begin{cases} \mathbf{S} = \mathbf{E}_1 \mathbf{H}_1 + \mathbf{E}_2 \mathbf{H}_2 + \mathbf{E}_3 \mathbf{H}_3 \\ \mathbf{H}_1 = \mathbf{C}_\omega^{-1} \mathbf{D}_1 \quad , \quad \mathbf{H}_2 = \mathbf{C}_\omega^{-1} \mathbf{D}_2 \quad , \quad \mathbf{H}_3 = -\beta \mathbf{C}_\omega^{-1} [\beta \mathbf{D}_3 + i(\mathbf{B}_1 \mathbf{H}_1 + \mathbf{B}_2 \mathbf{H}_2)] \quad , \end{cases}$

Etap 3:

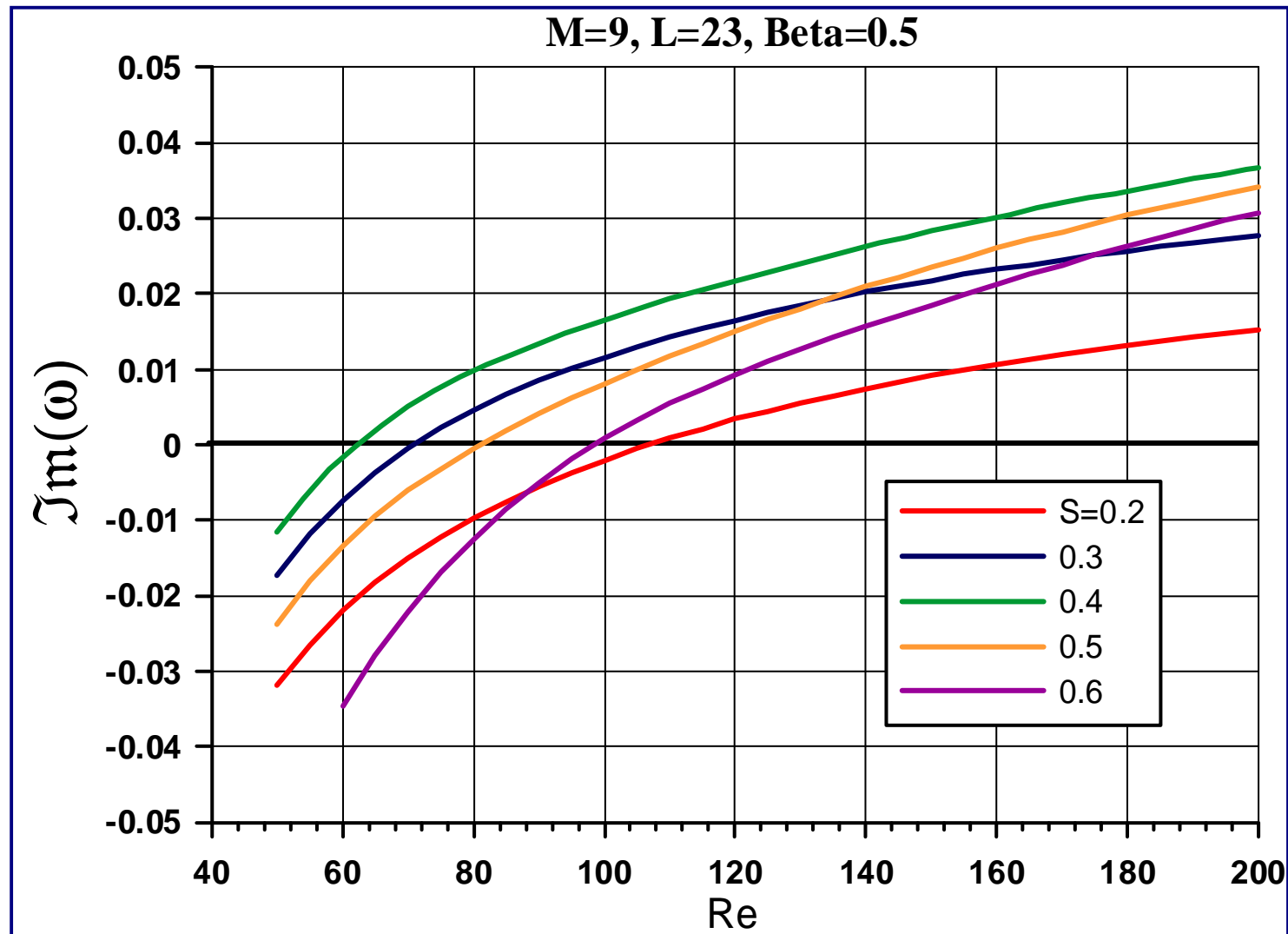
$$\mathbf{C}_\omega \mathbf{w}_1 = \mathbf{u}_1 - \mathbf{D}_1 \mathbf{q} \quad , \quad \mathbf{C}_\omega \mathbf{w}_2 = \mathbf{u}_2 - \mathbf{D}_2 \mathbf{q} \quad , \quad \mathbf{C}_\omega \mathbf{w}_3 = \mathbf{u}_3 - \mathbf{B}_1 \mathbf{w}_1 - \mathbf{B}_2 \mathbf{w}_2 - i\beta \mathbf{D}_3 \mathbf{q}$$

WYNIKI OBLICZEŃ (1)



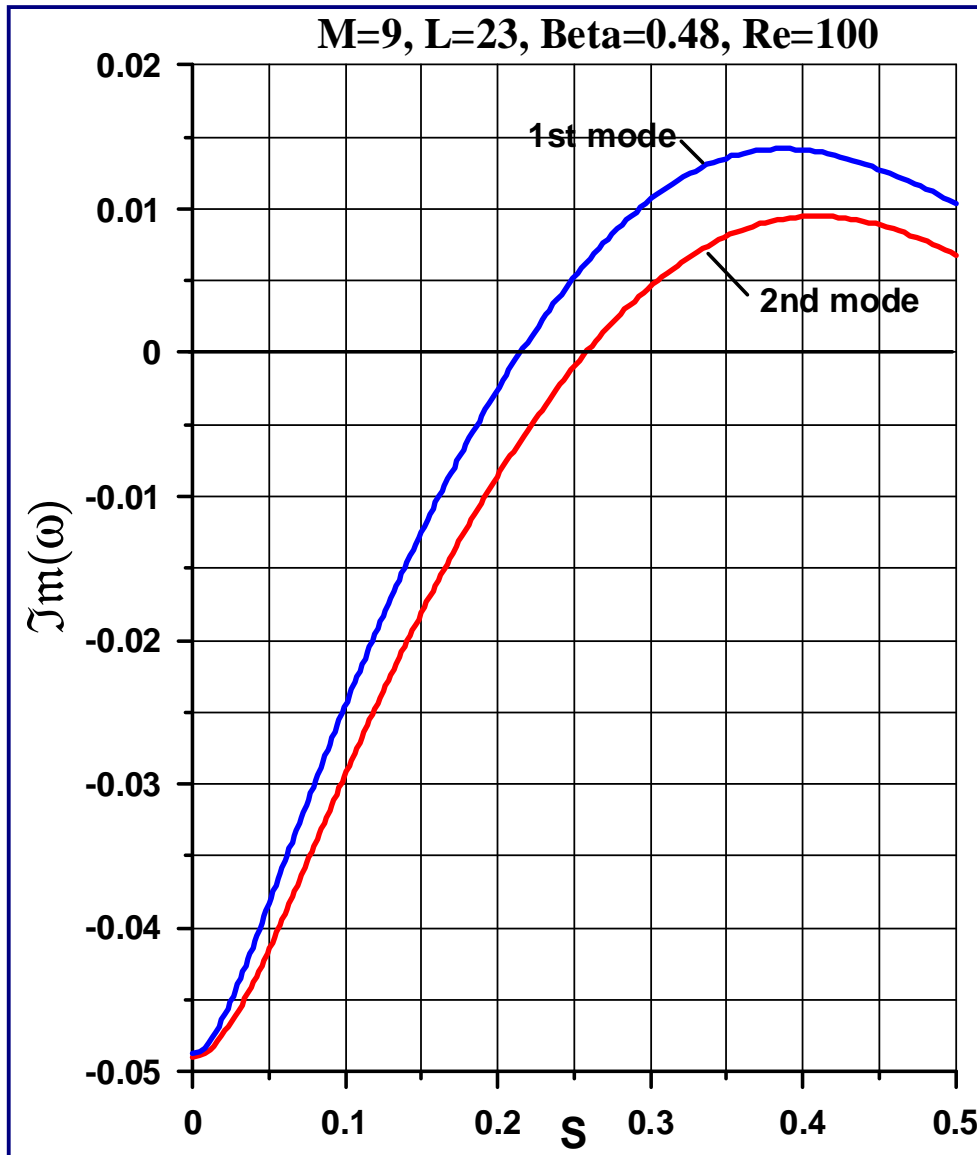
Zależność wykładnika wzmocnienia niestatecznego modu normalnego od liczby falowej β i szerokości kanału L .

WYNIKI OBLICZEŃ (2)



Zmienność wykładnika wzmocnienia w funkcji liczby Reynoldsa

WYNIKI OBLICZEŃ (3)



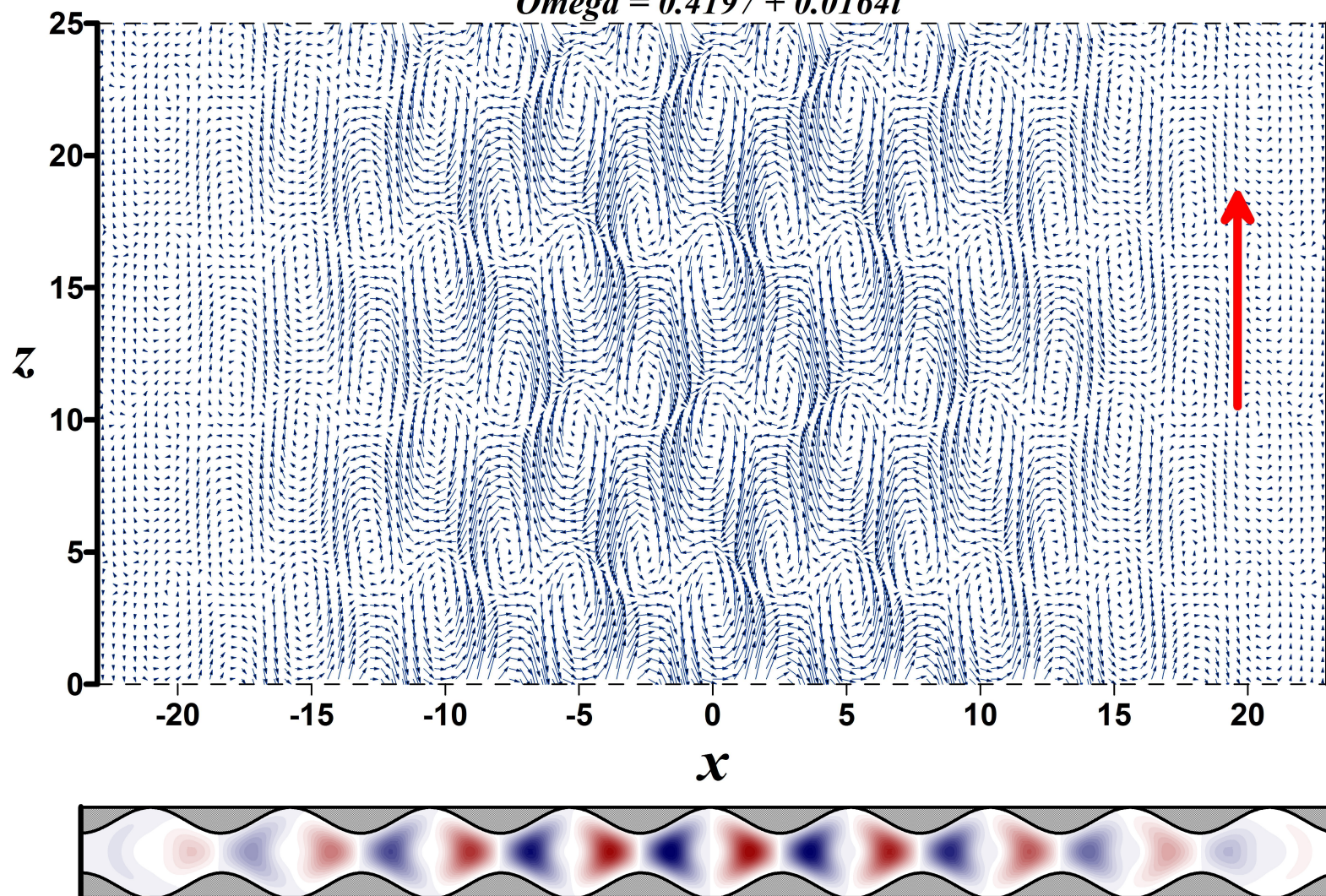
Dla dostatecznie wielkiej liczby Reynoldsa i amplitudy pofalowania mogą współistnieć dwa niestateczne mody normalne. W granicy $S \rightarrow 0$ mody te odpowiadają najslabiej tłumionym modom normalnym w kanale o przekroju prostokątnym.

WYNIKI OBLICZEŃ (4)

Struktura pola prędkości NMN-1

$M=9, L=23, S=0.4, Re=100, Beta=0.5$

$\Omega = 0.4197 + 0.0164i$

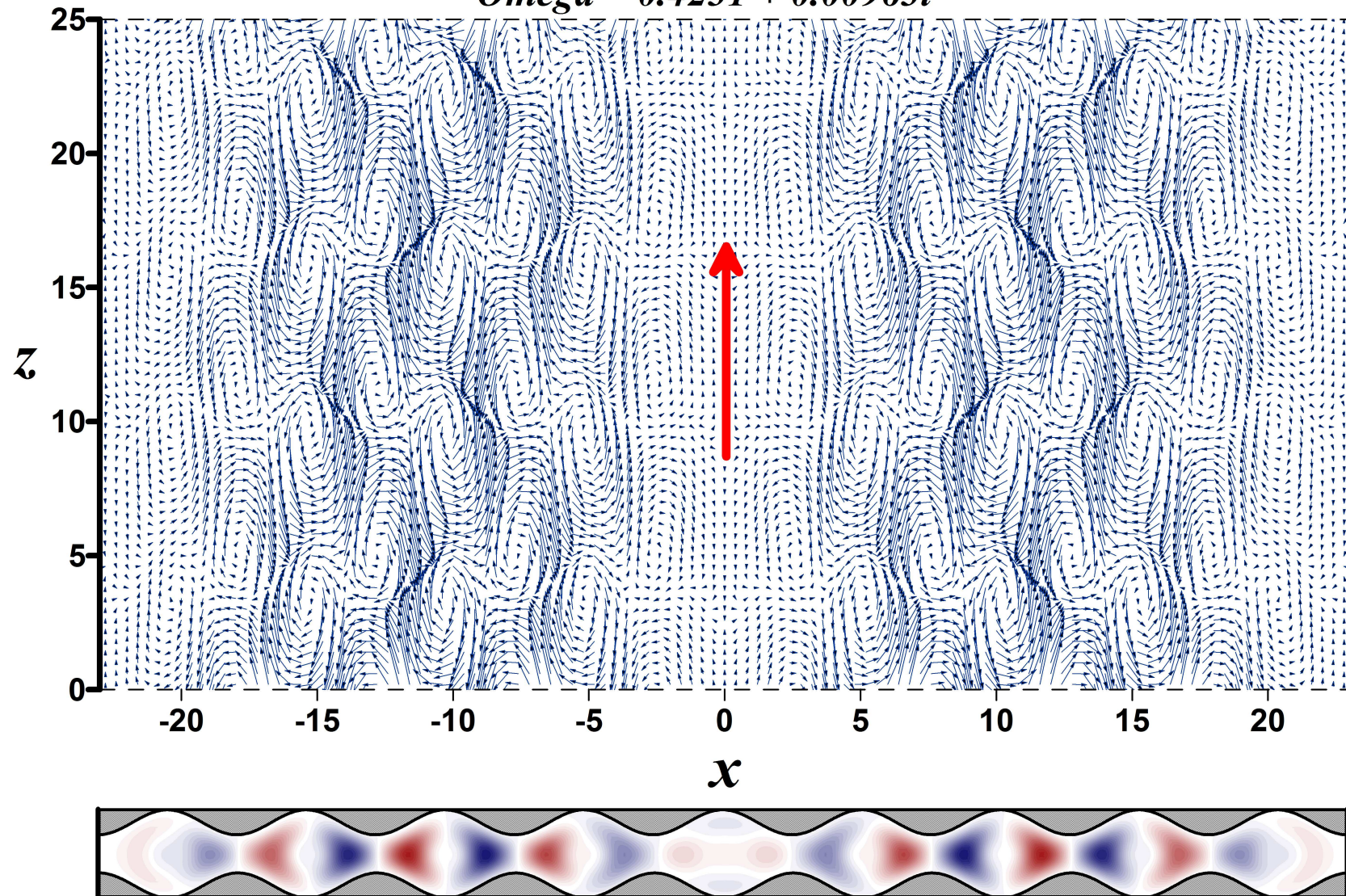


WYNIKI OBLICZEŃ (5)

Struktura pola prędkości NMN-2

$M=9, L=23, S=0.4, Re=100, Beta=0.5$

$\Omega = 0.4231 + 0.00963i$



PODSUMOWANIE

- Obecność bocznych ścian stabilizuje przepływ
- Efekt obecności ściana bocznych słabnie wraz ze wzrostem szerokości kanału
- W obecności ścian bocznych pofalowanie najsilniej destabilizujące na nieco mniejszą podziałkę niż w przypadku geometrii okresowej
- Istnieje optymalna szerokość kanału (przy ustalonej liczbie komórek M) i amplituda pofalowania sinusoidalnego.
- Stwierdzono istnienie (przynajmniej) dwóch niestatecznych modów normalnych

DALSZE BADANIA

- Uzupełnienie analizy parametrycznej, obliczenie krzywych stateczności neutralnej
- Pofalowanie jednostronne (do porównania z eksperymentem)
- Zbadanie wpływu nierównomierności podziałki dla małej liczby komórek ($M=3$, $M=5$)
- Analiza stateczności „przestrzenna” ($\omega \in \mathbb{R}$, $\beta \in \mathbb{C}$)